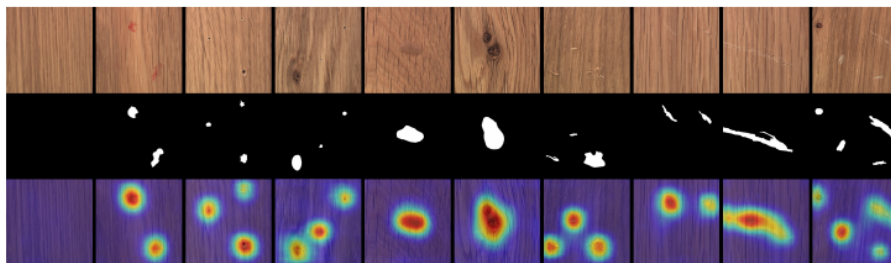
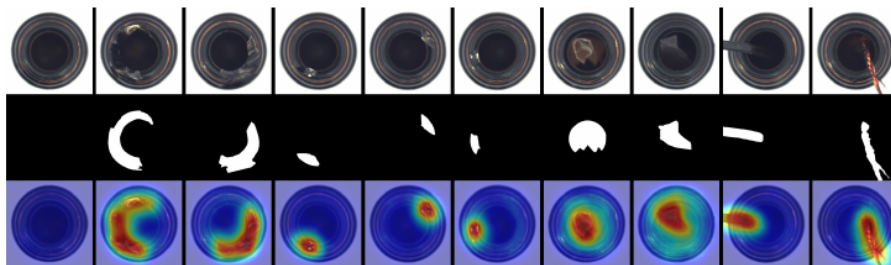


図A4：MVTec-ADにおけるタイルの異常検出結果。上から下へ：サンプル、真値、およびADTRの異常スコアマップ。最初の列は正常なサンプルです。



図A5：MVTec-ADにおける木材の異常検出結果。上から下へ：サンプル、真値、およびADTRの異常スコアマップ。最初の列は正常なサンプルです。



図A6：MVTec-ADにおけるボトルの異常検出結果。上から下へ：サンプル、真値、およびADTRの異常スコアマップ。最初の列は正常なサンプルです。

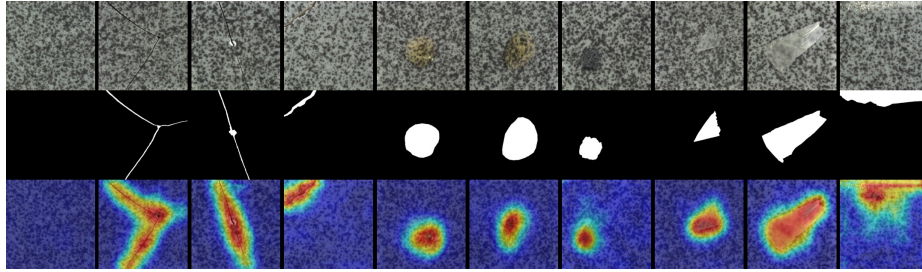


Fig. A4: Anomaly detection results of tile on MVTec-AD. From top to down: samples, ground-truth, and the anomaly score maps of ADTR. The first column is the normal sample.

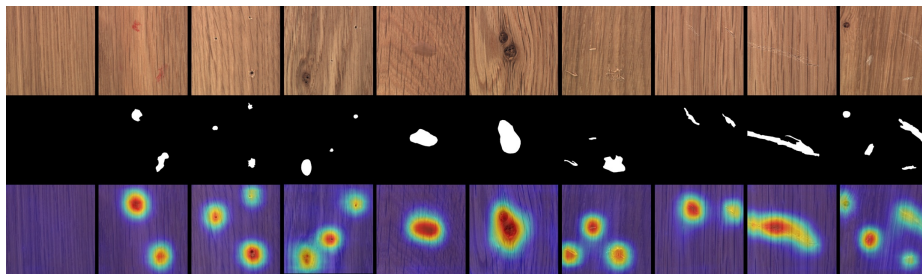


Fig. A5: Anomaly detection results of wood on MVTec-AD. From top to down: samples, ground-truth, and the anomaly score maps of ADTR. The first column is the normal sample.

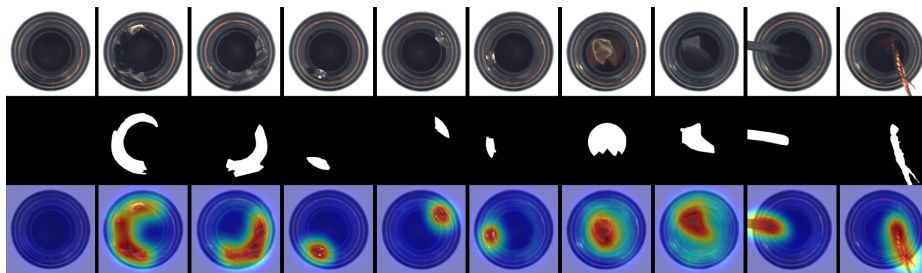


Fig. A6: Anomaly detection results of bottle on MVTec-AD. From top to down: samples, ground-truth, and the anomaly score maps of ADTR. The first column is the normal sample.